

第12卷 第1期

1964年2月

古 生 物 学 报
ACTA PALAEONTOLOGICA SINICA

Vol. 12, No. 1

Feb., 1964

揚子角石 (*Jangziceras*) ——一个志留紀新鸚鵡螺屬

賴 才 根

(地質部地質科學研究院)

本文所描述的材料來自兩個地點：一為四川秀山妙泉北二公里，產于厚約三米的厚層泥質灰岩及灰質頁岩互層中。盛莘夫先生在野外工作時將它暫歸于晚志留世，野外編號為K 21-2。另一為貴州印江纏溪以西二公里的公路旁，產自青灰色泥質頁岩中，野外編號為K 72-8；K 72-9。據丁蘊杰面告，含鸚鵡螺化石的泥質頁岩層之下，為一層含床板珊瑚的灰岩，該灰岩經丁氏¹⁾研究結果，歸于中志留統的底部。經作者初步研究，該層鸚鵡螺化石計有 *Jangziceras sichuanense* Lai (sp. nov.), *Orthoceras severum* Barr., *O. temperans* var. *omnium* Barr., *O. centrifugum* Barr., *O. progrediens* Barr., *Geisonoceras* sp., *Dawsonoceras* sp., *Virgoceras* sp. 等種屬，可與捷克斯洛伐克波希米亞地區 Wenlock 統上部對比，屬中志留世的後期。另外項礼文、林寶玉于1960年在陝西寧強二郎壠管區一層黃綠色頁岩內，也曾採到揚子角石 (*Jangziceras*) 和很多的珊瑚，腕足動物及頭足類化石共生。據林寶玉鑑定珊瑚化石的結果，時代亦屬中志留世。因此，四川秀山的揚子角石的時代，亦可能為中志留世。

最後，承孫云鑄、俞建章、穆恩之三教授審閱和修改文稿，盛莘夫先生和段承華、丁蘊杰二同志惠贈標本，吳留生同志代為照相，一并志此表示感謝。

關於體管沉積物及其在系統分類上的作用

體管結構這一重要特徵，很早以來已被用為鸚鵡螺類系統分類的主要標誌之一。體管的結構由二部分組成：一、體管牆（或外體管）由隔壁頸和連接環組成，二、體管沉積物（或體管內結構）。值得注意的是：由於殼體始端部分的體管牆，較口端部分者形成要早，較多地反映出其原始性質，故研究體管牆在個體發育上的進化時，是從殼體的始端向口端進行。相反，由於體管沉積物是在體管牆建立之後形成，並隨着殼體的不斷增長而發育。這樣，殼始端部分的體管沉積物，就較口端部分更要發育，即更進化，故研究體管沉積物在個體發育上的進化時，就要從口端向始端進行。因此，在同一標本，這兩個組成部分的個體發育階段，就難以得出相應的結論，應該分別論述。在判別同一種各個體的發育成熟程度時，除了根據體管牆等特徵外，亦應考慮體管沉積物的發育情況。

應用體管沉積物作為分類標誌時，主要是基於下列三個方面：

一、體管沉積物在個體發生上的變化。

1) 丁蘊杰，1960：貴州印江、恩南一帶床板珊瑚與日射珊瑚化石的新資料（未刊稿）。

二、体管沉积物的类型。

三、体管沉积物的发育情况，如是否对称，厚度大小，等等。

鸚鵡螺壳体中体管沉积物的形式是多种多样的，一般分成下述四种类型：

一、隔板 (Partitions)——为横过体管的板状沉积物，如小林貞一在 1935 年所指出，在 Ellesmeroceratidae 科的沉积物属此类型。

二、内隔壁 (Endocones)——为互相重迭的漏斗状隔板，其中央具微细管，叫做内体管 (Endosiphon tube)，如 Endoceratida 目中的沉积物属此类型。

三、环带沉积 (Annulosiphonate deposits)——在隔壁颈内侧沿体管墙发育环状沉积物，如 Actinoceratidae 及 Pseudorthoceratidae 科。

四、放线沉积 (Actinosiphonate deposits)——沉积物由体管墙在隔壁颈处向内作放射状延伸，如 Archiaceratidae 科及 Valcuroceratidae 科。

Teichert (1933, p. 127) 把环带沉积 (Annulosiphonate deposits) 分为 Centripetal 和 Centrifugal 两个类型。Flower (1939, p. 26) 同意这种划分，但将名称相应地改为悬垂环带 (Pendant deposits) 和附壁环带 (Parietal deposits)。

悬垂环带——沉积物从隔壁颈处开始生长，后向内扩大，始终不与连接环接触，其中隔有 Perispodium (图 1, a; 图 2, a)。

附壁环带——沉积物沿连接环伸延，向内不甚加厚(图 1, c; 图 2, c)。

上述两种类型在发育的早期，都是在隔壁颈的内侧形成一简单的环带 (Annulus) (图 1, b; 图 2, b)。

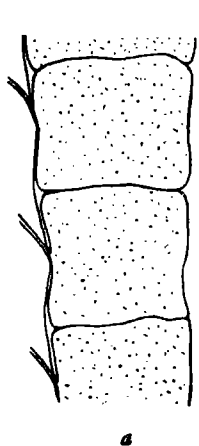


图 1 示环带体管沉积类型及其演化

- a, 悬垂环带(如 *Jangziceras*)
- b, 简单环带(如 *Harrisoceras*)
- c, 附壁环带(如 *Virgoceras*)

箭头示演化方向。

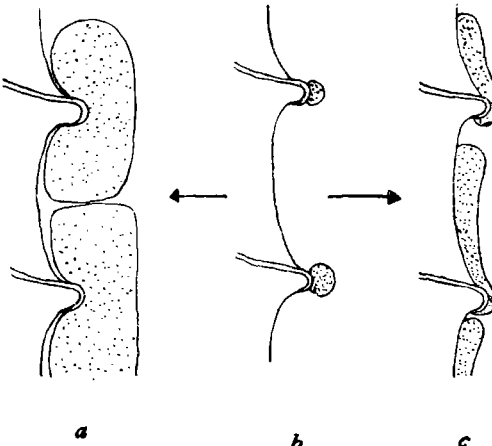


图 2 环带体管沉积类型
(采自 Flower, 1939 用作比较)

- a, 悬垂环带
- b, 简单环带
- c, 附壁环带

箭头是作者后加的。

就作者所知，简单环带和附壁环带可以发育于弯短领或直短领式的体管内，而悬垂环带仅见于弯短领的属群中。但悬垂环带现在却见于直短领的体管内，这就是下面描述的新属扬子角石 (*Jangziceras*)。

揚子角石具有大的近邊緣的體管，直短領式的隔壁頸，外觀與 Baltoceratidae 科相似；但從體管沉積物的形態及個體發育特徵上看，與 Baltoceratidae 极不相稱，在這方面恰與 Michelinoceratidae 相似，故歸於 Michelinoceratidae 科為宜。

揚子角石的體管沉積物背、腹側極不對稱，幾乎集中於腹側。其實體管沉積於腹側更加發育，是很易理解的生態現象；因為這類直殼鸚鵡螺是以腹側向下平臥在海水中，為了保持本身的平衡，就要使重心降低，勢必引起腹側沉積物的加重。新屬的腹側體管沉積物形如懸垂環帶，背側酷似附壁環帶。在殼體的發育進程中，體管沉積物亦首先於隔壁頸處形成簡單的環帶，其後、于腹側，沉積物向前、後、內三方向同時加厚，造成方塊狀的外貌，但僅在隔壁頸處與體管牆相接，並不與連接環接觸，中為周腔 (Perispatium) 所隔(圖 1, a)。同時沉積物亦由腹部中央，經兩側向背部延伸(圖 4)，在發育的最後階段，始與背側沉積物相互混合(圖 4, 圖 4a)；在背側沉積物演化遲鈍，呈一纖細的層狀物，緊貼連接環(圖 1, c)，其發育方式與在 Pseudorthoceratidae 科中的體管沉積物的發育方式類似。

由此可知懸垂環帶不單是彎短領式體管所獨有的特點，在直短領式體管內亦可出現。這就提供了環帶沉積系統發育的另一過程的事實：即在直短領的體管內，簡單的環帶，如 *Harrisoceras* 向兩個方向演化，一個方向是沉積物自隔壁頸向內擴大，始終未與連接環接觸，形如懸垂環帶，例如揚子角石的腹側體管沉積物；另一個方向是沉積物沿連接環伸延，如 *Virgoceras* 的體管沉積物，這一演化系列與在彎短領體管中懸垂環帶和附壁環帶的演化系列是平行進行的(圖 1, 圖 2)。

種 屬 描 述

目 Michelinoceratida Flower

科 Michelinoceratidae Flower et Caster, 1935

屬 *Jangziceras* Lai (新屬)

特征：壳体直，断面圆。体管很大，近于腹边。环节微显膨大，具直短领式隔壁颈。体管沉積物主要发育于腹側，属悬垂环带类型。从纵断面观之，沉積物呈方块状，仅于隔壁颈处与体管牆接觸。前、后环节中，沉積物的接觸綫近乎水平。横断面看来，它自腹部經兩側向背部伸延，在發育的後期方與背側沉積物相混。背側體管沉積物演化遲鈍，呈薄层状紧貼體管牆，属附壁环带类型，其發育方式與在 Pseudorthoceratidae 科中者相似。气室中等高度。隔壁下凹不深。縫合綫向腹面下斜。壳面光滑，住室不明。

屬型：*Jangziceras sichuanense* Lai (新屬, 新种)

討論：新屬具大的靠近腹側的體管，外觀與 Endoceratida 目中的科、屬相似，但二者體管結構大不相同，沒有親緣關係。

Ellesmeroceratida 目中的 Baltoceratidae 科亦具很短的隔壁頸和大的邊緣體管，與 *Jangziceras* 相似，但它們的連接環和體管沉積物的性質又絕然不同，在這方面，本屬顯然與 Michelinoceratida 目一致，應歸在該目內。

雖然該屬的背側體管沉積物似 Pseudorthoceroid 類型，但從整個體管結構看來，例如直短領式的隔壁頸，近于管狀的體管環節，都表明該屬更接近于 Michelinoceratidae 科而

不是 Pseudorthoceratidae 科。

Harrisoceras Flower 和 *Virgoceras* Flower 是北美和欧洲中志留世常见的属。*Harrisoceras* 的沉积物与新属体管沉积物的早期发育阶段相似,但背、腹两侧对称,在发育进程中始终表现为简单的环(Annulus),与新属不同。*Virgoceras* 的体管沉积物却与新属背侧沉积物类似,亦表现为背、腹两侧对称的外观,而且体管较小并位于中央,可与新属区别。

总之,中国标本的体管沉积物,无论从形态,或个体发育来看,都是 Michelinoceratidae 科内任何已知属所不具备的特征,结合其大而近于腹边的体管和向腹侧下斜的缝合线等性质应为新属。

Jangziceras sichuanense Lai (新属、新种)

(图版 I, 图 1, 图 2; 插图 3—6)

特征: 壳及体管横断面均属圆形。体管近腹边,相当壳径的 1/3。隔壁颈很短,连接环稍有膨大。腹侧环带在幼年环节中呈方块状,相邻环带接触线横过环节的中央;至壮年环节时,环带缩小呈卵形,都仅在隔壁颈处与体管墙接触。背面环带纤细,紧贴体管墙。壳径长度上可容纳 4 个气室。隔壁下凹深,相当 1½—2 个气室的高度。缝合线向腹侧下斜,与壳体中轴作 70—75 度的交角,于腹侧形成一宽浅的叶。

描述: 代表这个种的计有三块标本:二个壳体巨大者采集地点属四川,壳体细小的一个采自贵州。

正型个体巨大,保存尚佳,长达 300 毫米以上,均属气室部分。壳壁仅在背面部分保留,厚约 1 毫米,腹面的壳壁已全部风化缺失,壳面光滑无装饰。缝合线向腹侧下斜,与壳体中轴作 70 度的交角,于腹面形成一宽而浅的腹叶。为详细研究其内部构造,标本制成了不同方向的磨光面及薄片,其相应位置如图 3 所示。

壳直。放大缓慢,壳 110 毫米长度内,其背腹直径自 35 毫米增至 42 毫米。壳及体管横断面呈圆形。体管靠近腹边,当壳背腹直径为 45 毫米时,体管直径为 14 毫米,约占壳径的三分之一,其中心距壳腹壁的距离为 11 毫米。

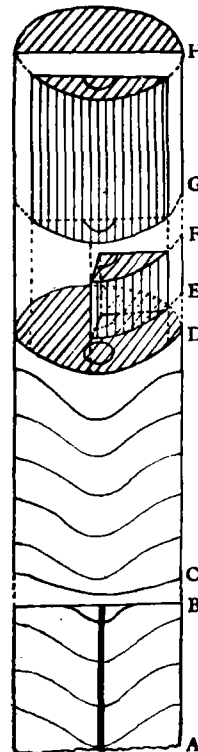


图 3 *Jangziceras sichuanense* Lai (新属、新种)
正型标本切面示意图

AB, CD, EF, GH 代表壳体向口端方向的各段; CD, EF, GH 段中央之圆圈示体管位置,带黑直线的部分代表经切片后剩余部分; AB, CD 段之弯曲线示缝合线之腹面外觀; AB 段中央之一粗黑线代表該段之背腹方向切面线。

体管牆由隔壁頸和連接環組成，在標本中段的背腹縱斷磨光面（圖版 1，圖 1d；1f；插圖 5，圖 5b）及與此平行的薄片上明顯可見：隔壁頸極短，略向體管內下斜並逐漸削尖，隔壁頸與隔壁的本部無明顯界限。連接環為深灰色，稍較隔壁頸為細，於氣室內微微擴大。體管環節稍向背面傾斜。在標本下段的一個背腹縱斷磨光面上（圖版 1，圖 1a），當殼徑為 39 毫米時：環節高 10 毫米，在隔壁頸處的直徑為 11.8 毫米，在氣室中央之最大直徑為 13 毫米。標本上段的一個側面縱斷磨光面上（圖版 1，圖 1e），當氣室高度為 10 毫米時，環節在隔壁頸和氣室中央的直徑各為 12 毫米及 13.5 毫米。

氣室穩定，中等高度，殼的背腹直徑長度內可容納四個氣室。隔壁下凹深達 $1\frac{1}{2}$ —2 個氣室，其下凹最深處近殼中軸，向上有加密的趨勢：在標本下端（圖版 1，圖 1a）自下而上第二和第三個隔壁，下凹深相當一個半氣室高，但向上至第四個隔壁以後却深達二個氣室。在側面縱斷面上（圖版 1，圖 1e），隔壁呈漏斗狀深深下凹。

體管沉積物在形態和個體發育上均較獨特。從橫的方向，通過自下而上一系列橫斷面（圖 4）的觀察即可表明這點：

標本下段之體管橫斷面（圖 4，a）是恰好通過隔壁頸的斷面。沉積物最為發育，除了靠近體管背壁留有一不規則的“空隙”外，體管幾乎全為灰質物填充，自此“空隙”有若干條向外放射的黑線，這些黑線未能延至體管壁，可能代表環帶間歇形成的標記。

向上 57 毫米的體管橫斷面（圖 4，b），腹面環帶的背腹寬度已趨縮小，相當體管直徑的一半，其背緣不平整，中央向外凸出，腹緣平整不與體管牆接觸；背面環帶很薄，緊貼體管牆。

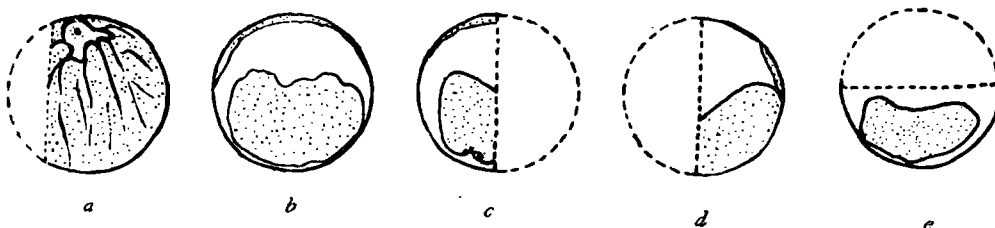


图 4 *Jangziceras sichuanense* Lai (新属, 新种) 正型的体管横切面, 示体管沉积物的发育情况
(切面位置见图 3) $\times 2$

自 a 至 e 各圆圈代表壳体向口端方向的数个体管横切面; 虚线代表未切部分; 带黑点部分代表体管沉积物; 各图的方向均为腹侧朝向。

- a, AB 段之上端体管横切面, 通过隔壁頸。
- b, CD 段之上端体管横切面, 距上切面 57 毫米。
- c, EF 段之下端体管横切面, 距上切面 2 毫米。
- d, EF 段之上端体管横切面, 通过隔壁頸, 距上切面 18 毫米。
- e, GH 段之下端体管横切面, 距上切面 2 毫米。

再向上 2 毫米的橫斷面（圖 4，c）中，環帶的形狀與上一斷面相似，惟邊緣更平整，距圖 4c 18 毫米的體管橫斷面（圖 4，d），顯然是通過了隔壁頸的，環帶與體管牆直接接觸，寬度又顯有縮小。

圖 4e 是位於 4d 之上 2 毫米的橫斷面，環帶的形狀似圖 4b，惟背腹的寬度顯著縮小，相當體管直徑的 $1/3$ ，其腹緣與體管牆之間有一空隙存在。

上述五個體管橫斷面的觀察結果，可以得出這樣的結論，即：環帶在腹面十分發育，其

背腹寬度隨壳体的生长显有缩小。它的生长方式是：在腹部于隔壁頸处开始，向前、后、内側三个方向同时迅速加厚，所以在較壯年的体管切面中，环带背腹寬度很窄，背緣內凹；而在較幼年的切面中，除了近腹壁的一不規則“空隙”外，灰質物充填了整个体管；通过隔壁頸的橫断面，环带腹緣与体管牆接触（图 4a, d），相反，未通过隔壁頸的切面，环带的腹緣不与連接环接触；在背部的灰質物极不发育，呈一薄层状始終紧貼于体管壁上。这种論断通过各种方向的纵切面亦可得到証实。

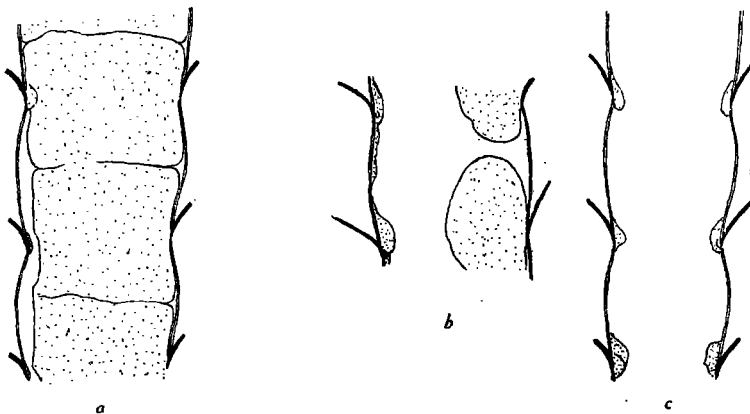


图 5 *Jangziceras sichuanense* Lai (新属, 新种) 正型标本的体管結構 $\times 3$

a, 图版 I, 图 1a 的部分放大, 示标本下端背腹纵切面的体管外貌, 腹面位右侧。

b, 标本中段的背腹纵断磨光面 (参看图版 I, 图 1d; 1f), 腹面位右侧。

c, 标本上段, 侧面纵切面薄片。

图 5a 是图版 I, 图 1a 的部分放大, 代表較年幼的体管环节。腹面的环带呈方块状, 它与腹面体管牆仅于隔壁頸处接触, 相邻环带接触綫近于平直。当体管环节在隔壁頸处的背腹直径为 12.3 毫米时, 腹面环带的相应宽度为 11 毫米, 而背面环带极窄, 仅停积于隔壁頸处, 呈新月状。虽然在該环节之上的环节中(图版 I, 图 1a), 腹面环带已伸延至背面, 似乎环带向上有所扩大, 其实是由于切面至此已偏离体管軸心的結果。同时这些环节中的体管沉积物, 沿环带接触綫似有向腹面放射的綫紋, 但它们是如此的不清晰, 似乎仅仅是重結晶作用所引起的現象。

較上年壯的体管环节(图版 I, 图 1d; 1f, 插图 5b), 腹面环带呈卵形, 互不接触, 环带腹緣亦仅在隔壁頸处相接。背面环带近乎层状, 紧貼体管牆, 在隔壁頸处厚度稍大。当体管环节在隔壁頸处的背腹直径为 12.4 毫米时, 腹面及背面环带的相应最大宽度各为 7 毫米及 1.5 毫米。

在标本上端, 通过体管軸心的侧面纵切面薄片(图 5, c), 环带很小, 仅于隔壁頸的内側出現, 呈新月状, 两侧对称。

所有气室均遭受強烈重結晶作用, 故气室沉积物均已损坏, 难以分辯。

副型标本(图版 I, 图 2, 插图 6)亦仅保存了部分迭錐, 长达 65 毫米。为了研究内部构造, 其下段已制成稍偏离中軸的纵切面薄片(图版 I, 图 2c)。壳及体管的横切面为圓形。体管大, 靠近腹边。当壳的背腹直径为 21 毫米时, 体管的相应直径为 7.7 毫米, 相当壳径的三分之一; 它距壳背壁距离为 11.3 毫米, 腹壁为 2.5 毫米。壳壁部分保留, 表面光滑。

缝合线向腹面下斜,与腹边呈 75 度的交角。背腹壳径上可容纳 4 个气室。隔壁下凹深近于一个半气室的高度。

隔壁颈直短领式,连接环在气室内稍有膨大。体管沉积物最发育:在薄片中,腹面及背面之环带具有相似的生长线纹,环带与体管壁都仅在隔壁颈处接触,另有近乎三角形的灰质物紧贴连接环,呈现了体管沉积物在背、腹两侧相似的发育方式,此实系薄片方向并非真正通过中背—中腹线所造成,如果对比正型标本的下段情况(图版 I, 图 1a; 插图 5a)即可证实此点。相邻环带的接触线横过环节中央,稍有起伏。

气室沉积物亦很发育,尤其是腹侧的气室几乎全为灰质物所填充,背侧气室沉积物在隔壁的上面及靠近壳壁的地方出现,显较腹侧为薄。

这个标本与正型相比,在外部和内部构造特征上大体一致,应归于同一个种内。副型标本远较正型小;体管沉积如此发育,与正型标本的下段类似;同时在副型标本中,可见到发育良好的气室沉积物,这在正型中是没有的现象,考虑到上述三项区别,可以推断副型标本可能是一个幼壳。

层位及产地: 正型标本采自四川秀山、妙泉,中志留统(上志留统?)泥质灰岩内。野外编号 K21-2, 登记号 Ce 2031; 副型产地为贵州印江穆溪, 中志留统青灰色泥质页岩中。野外编号 K72-9, 登记号 Ce 2030。

Jangziceras yinkiangense Lai (Gen. et sp. nov.)

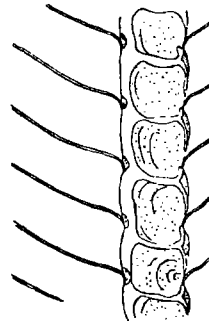
(图版 I, 图 3; 插图 7—8)

特征: 壳直,体小。横断面圆形。体管近腹边,相当壳径的 1/3。隔壁颈直短领式,背腹侧不对称,连接环在气室内稍有膨大。腹面环带呈方块状,相邻环带之接触空间位于环节的上端;背面环带极小,呈新月状。缝合线向腹侧下斜度较平缓。更浅的隔壁下凹度等于一个气室。壳径长度上可占 3½ 个气室。

描述: 这是一块小标本,属气壳部分。壳的两端已断缺,保存长 35 毫米,上端壳径 15.3 毫米,具 1:20 的放大率。壳及体管的横断面为圆形。体管很大,靠近腹边。当壳的背腹直径为 14.6 毫米时,体管环节在隔壁颈和气室中的直径各为 4.1 毫米及 5 毫米,而其长度等于 4 毫米;体管壁距壳的背边和腹边距离各为 7.6 毫米和 1.6 毫米。隔壁颈直短领式,其两侧不甚对称,背面的颈(图 7a)与隔壁的自由部分近直角相交,而腹面的颈(图 7b)与其自由部分的交角大于 90 度。体管沉积亦主要发育于体管的腹面(图 8),几乎填充了整个体管:腹面环带呈方块状,仅与隔壁颈接触,生长纹很清晰;相邻环带的接触空间靠近环节的上端,微向下凹;紧贴连接环有一近三角形的灰质沉积物,其顶端伸入环带的接触空间;背面的环带贴在隔壁颈上,呈新月状,非常细小。

图 7 *Jangziceras yinkiangense*

a, 背側隔壁頸和體管沉積物
b, 腹側隔壁頸和體管沉積物的一部分。

图 8 *Jangziceras yinkiangense* 的體管結構 $\times 3$

气室中等高度，在背腹壳径长度上可占 $3\frac{1}{2}$ 个气室。隔壁下凹近于一个气室的深度。缝合线向腹侧下斜，与壳腹边的交角近 80 度。

比較：本种与 *Jangziceras sichuanense* 有以下各区别：

- 一、本种的缝合线倾斜较 *J. sichuanense* 为平缓。
- 二、*J. yinkiangense* 的腹侧相邻环带的接触空间横过环节的上端，而 *J. sichuanense* 却横过环节的中央。
- 三、本种的气室稍高，隔壁下凹亦更浅。

层位及产地：贵州印江缠溪以西 2 公里的公路上，中志留统青灰色泥质页岩。野外编号 K72-8，登记号 Ce 2029。

参 考 文 献

- Flower, R. H., 1939: Study of the Pseudorthoceratidae. *Palaeontographica Americana.*, vol. 2, no. 10.
 Flower, R. H. and Kummel, R., 1950: A classification of the Nautiloidea. *Jour. Paleont.*, vol. 26, no. 5, pp. 604—616.
 Flower, R. H., 1939: *Harrisoceras*, a new structural type of Orthocoanitic Nautiloid. *Jour. Paleont.*, vol. 13, no. 5, p. 473.
 Ruedemann, R., 1905: The structure of some primitive Cephalopods. Report of the New York State Palaeontologist 1903. N. Y. State Museum., Bull. 80, pp. 296—384.
 Kobayashi, T., 1935: On the phylogeny of the Primitive Nautiloids, with Descriptions of *Plectronoceras liaotuagense*, New Species and *Iddingsia* (?) *shantungensis*, New Species. *Japanes Jour. Geol. Geogr.*, vol. 12, nos. 1—2, pp. 17—26.
 Барков, И. С., 1959: Новые Силурийские Наутилоиды из южной Ферганы. Палеонтол. Ж., № 3, стр. 55—60.
 王钰等, (1962): 扬子区标准化石手册。科学出版社。

JANGZICERAS—A NEW SILURIAN NAUTILOID GENUS

LAI CHAI-GEEN

(Summary)

The material on which this article is based, was collected by Messrs. S. F. Sheng, V. C. Ting and C. H. Tang from the following localities:

1. Miao-chuan, Sue-shan, Szechuan Province: Collected by Messrs. Sheng, Ting and Tang from a marl bed, the age of which was tentatively considered by Sheng as Upper Silurian.

2. Tsiangki, Yinkiang, Kweichow Province: Collected by Messrs. Sheng, Ting and Tang from a bluish-gray shale bed. This shale yields many characteristic cephalopods of Wenlock age, such as *Jangziceras sichuanense* Lai (gen. et sp. nov.), *Jangziceras yinkiangense* Lai (Gen. et sp. nov.), *Orthoceras severum* Barr., *O. temperans* var. *omnium* Barr.; *O. centrifugum* Barr., *O. progreadiens* Barr., *Geisonoceras* sp., *Dawsonoceras* sp., *Virgoceras* sp. The underlying limestone yields many tabulate corals. Ting considered it to be the lower part of Middle Silurian. In 1960, Messrs. L. W. Hsiang and P. Y. Lin again collected some corals, brachiopods, and nautiloids from the Middle Silurian of Shensi Province. Among them *Jangziceras* is the most characteristic fossil discovered by the present writer. It is possible that the material from Szechuan is also of Middle Silurian age.

Divisions of the nautiloids is mainly based on the structure of the siphuncle. Two parts of that structure are recognized: 1. Siphuncular wall (Ectosiphuncle) composing of septal necks and connecting rings; 2. Endosiphuncular deposits (Endosiphuncle) consisting of all structures with siphuncular wall. These deposits are divided into four types, viz. partitions, endocones, annulosiphonate and actinosiphonate deposits.

Flower (1939) divided the annulosiphonate deposits into two groups—pendant deposits and parietal deposits. These correspond respectively to the centripetal and centrifugal deposits of Teichert (1933). The parietal deposits grow mainly by the addition of material to the adoral or adapical end of the deposits, and lie closely against the connecting ring. The pendant deposits develop markedly inward, and hang upon the septal necks. They are never in contact with the free part of the connecting ring, but are separated from it by the perispatium. The annuli, the simplest rings are found in the earliest stage of growth of pendant or parietal deposits.

Both the annuli and parietal deposits have been seen in the cyrtochoanitic and orthochoanitic types. But the pendant deposits are only found in cyrtochoanitic type. The specimens described in the present paper belong to orthochoanitic type and have a large submarginal siphuncle. The siphonal deposits, which are heavier on the venter than on the dorsum, are the typical pendant deposits on the venter and parietal on the dorsum. On account of such distinctive characters the new genus *Jangziceras* is proposed.

The writer wishes to extend his sincere thanks to Profs. Y. C. Sun, C. C. Yü and A. T. Mu for their critical reading of the manuscript, to Messrs. S. F. Sheng, V. C. Ting and C. H. Tang for their valuable collections and to Mr. L. C. Wu, for preparing all the

photographs.

DESCRIPTION

Michelinoceratidae Flower and Caster, 1935

***Jangziceras* Lai (n. gen.)**

Diagnosis: This genus contains orthoceracones, with circular section. The sutures are markedly oblique, sloping orad on the dorsum. The large siphuncle is submarginal in position and is orthochoanitic in outline. The siphuncular segment is broad and short, and faintly expanding within the camerae. The depth of the camerae is moderate. The septa are shallow and evenly curved. The surface appears to be smooth.

The deposits of the siphuncle first appear as simple annuli. Then these annuli develop into deposits of the pendant type, assuming a quadrangular form in longitudinal section along the venter, and deposits of the parietal type showing a continuous lining along the dorsal wall of the siphuncle. The growth of the ventral deposits is the addition of material to its lateral extremities until they meet and fuse dorsally in later stage of development.

Genotype: *Jangziceras sichuanense* Lai (gen. et sp. nov.)

Discussion: On account of the character of the orthochoanitic siphuncle and annulosiphonate deposits, the new genus *Jangziceras* is considered to be a member of the family Michelinoceratidae.

Our new genus resembles the Middle Silurian *Harrisoceras* and *Virgoceras* of North American and Bohemia. It differs from *Harrisoceras* in its submarginal siphuncle and asymmetrical annulosiphonate deposits. From *Virgoceras* it differs in its larger submarginal siphuncle and pendant deposits within it.

***Jangziceras sichuanense* Lai (gen. et sp. nov.)**

(Pl. I, figs. 1—2; Text-figs. 3—6)

Diagnosis: The cross sections of the siphuncle and conch of our species are circular. The diameter of the submarginal siphuncle is about one third of that of the shell. Its segments are subcylindrical, slightly broader than long. The outline and the mode of development of the siphonal deposits are different on the venter and dorsum. On the venter they are typical pendant deposits in their mode of development. The apical and adoral free margins of the deposits are disposed horizontally on the middle of segment. A continuous lining on the dorsum is visible, it is very thin and belongs to the deposits of the parietal type.

There are four camerae in a length equal to the dorso-ventral diameter. The septum has a depth of about one fourth of the dorso-ventral diameter of the shell. The sutures are oblique, rising orad on the dorsum.

Horizon and Localities: The holotype was obtained from a marl bed of Middle Silurian, at Miaochuan, Sue-shan, Szechuan. Paratype from a bluish-gray shale bed of Middle Silurian, at Tsiangki, Yinkiang, Kweichow. Coll. Messrs. Sheng, Ting and Tang (1958). Cat. no. Ce2031 (holotype), Ce2030 (paratype).

***Jangziceras yinkiangense* Lai (Gen. et sp. nov.)**

(Pl. I, figs. 3; Text-figs. 7—8)

图 版 說 明

(标本保存于地質部地質博物館, 吳留生摄影)

图 1. *Jangziceras sichuanense* Lai (新属, 新种)(参看插图 3)

- 1a. 标本下段, AB 段之背腹纵断磨光面。×1
- 1b. 标本 CD 段之腹面外觀。×1
- 1c. 标本 CD 段之頂視。×1
- 1d. 标本 EF 段之背腹纵断磨光面。×1
- 1e. 标本上段 GH 段之侧面纵断磨光面。×1
- 1f. 图 1d 之放大。×3

正型标本, 登記号: Ce2031

图 2. *Jangziceras sichuanense* Lai (新属, 新种)

- 2a. 标本上段之侧面外觀。×1
- 2b. 同上标本之頂視。×1
- 2c. 标本下端之背腹纵切面薄片。×3

副型标本, 登記号: Ce2030

图 3. *Jangziceras yinkiangense* Lai (新属, 新种)

- 3a. 标本之背腹纵断磨光面。×1
- 3b. 同上标本之侧面外觀。×1

正型标本, 登記号: Ce 2029

Explanation of Plate I

(All specimens are kept in the Museum of Ministry of Geology in Peking.

Photographs are made by Mr. L. C. Wu.)

Fig. 1. *Jangziceras sichuanense* Lai (Gen & Sp. nov.) (see, also, Text-fig. 3)

- 1a. Longitudinal dorso-ventral section of apical or AB portion. ×1
- 1b. Ventral aspect of CD portion of the specimen. ×1
- 1c. Apical aspect of CD portion. ×1
- 1d. Longitudinal dorso-ventral section of EF portion. ×1
- 1e. Longitudinal lateral section of GH portion. ×1
- 1f. Enlargement of the specimen illustrated in Pl. 1, fig. 1d, ×3

Holotype. Cat. No. Ce2031.

Fig. 2. *Jangziceras sichuanense* Lai (Gen & Sp. nov.)

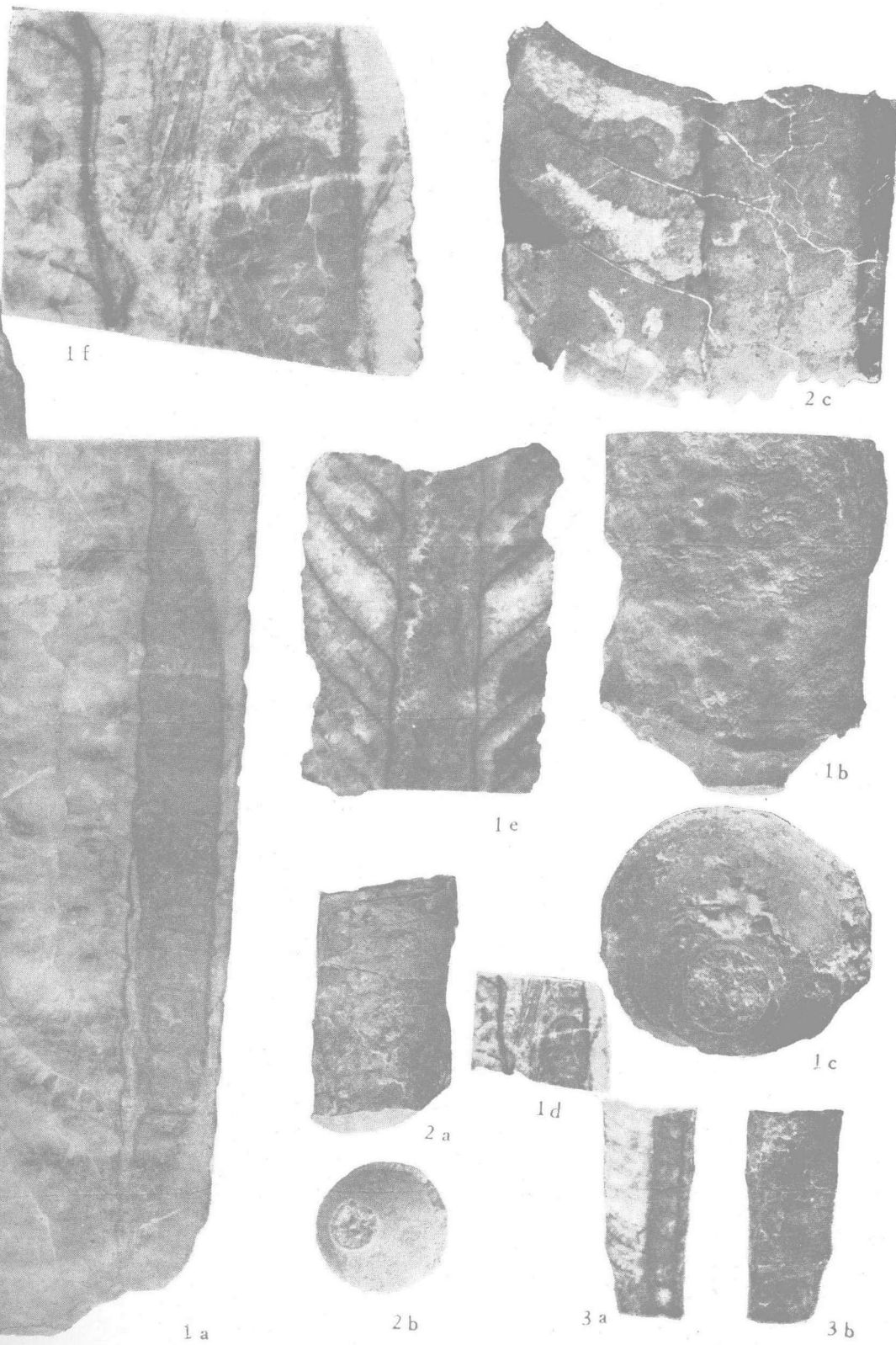
- 2a. Lateral aspect of adoral portion. ×1
- 2b. Apical aspect of the same specimen. ×1
- 2c. Longitudinal dorso-ventral thin section of apical portion. ×3

Paratype. Cat. No. Ce2030.

Fig. 3. *Jangziceras yinkiangense* Lai (Gen & Sp. nov.)

- 3a. Longitudinal dorso-ventral section of the Holotype. ×1
- 3b. Lateral aspect of the same specimen. ×1

Cat. No. Ce2029.



Diagnosis: This is represented by a small orthoceracone, with a submarginal siphuncle about one third of the diameter of the shell. Both the siphuncle and the shell are circular. The siphuncular segments are essentially cylindrical. On the venter the apical and adoral free margins of the siphonal deposits are laid on the adoral end of segment. On the dorsum the siphonal deposit is very thin, crescentic and slightly extended oradly on the septal neck, but is scarcely extended apically.

The sutures faintly incline oradly on the dorsum. There are three and a half camerae in a length equal to the diameter of the shell. The septum has a depth equal to the height of one camera.

The comparison of this species with *Jangziceras sichuanense* is as follows:

1. The sutures of *Jangziceras sichuanense* is more oblique than that of the present species.
2. In *J. yinkiangense* the apical and adoral end of the siphonal deposits are disposed horizontally on the adoral end of the segment, but on the middle of segment in *J. sichuanense*.
3. *J. yinkiangense* has higher camerac and smaller depth of curvature of the septa than *J. sichuanense*.

Horizon and locality: From a bluish-gray shale bed of Middle Silurian, at Tsiangki, Yinkiang, Kweichow province. Coll. Messrs. Sheng, Ting and Tang (1958). Cat. no. Cc2029.